

o lo que es lo mismo,

$$\partial_\tau X^\mu \Big|_{\sigma=0,\pi} = 0 \quad \forall \tau \quad (\partial_t X^\mu \Big|_{\partial M} = 0),$$

$$\hookrightarrow \partial_t = t^a \partial_a \text{ con } t^a \parallel \partial M$$

para al menos algunos valores de  $\mu$ . Estas son

condiciones de Dirichlet, o de extremo fijo, y

tienen como consecuencia  $\delta X^\mu \Big|_{\sigma=0,\pi} = 0$ , con lo cual también se logra  $\delta S_p = 0$ . Esta condición de frontera nos resulta muy familiar, pues es la que satisfacen los cuerdas de guitarra, violín, etc.

Pero en el contexto de las cuerdas relativistas, tienen la peculiaridad de que violan la invariancia bajo Lorentz si no todos los  $X^\mu$  son Dirichlet, y además, violan la invariancia bajo translaciones.

Efectivamente, si pedimos que

$$\begin{cases} \partial_\sigma X^\mu \Big|_{\sigma=0,\pi} = 0 & \text{para } \sigma = 0, 1, \dots, p \\ X^i \Big|_{\sigma=0,\pi} = c^i & \text{para } i = p+1, \dots, D-1 \end{cases} \quad (\text{con } p = -1, \dots, D-2),$$

extremo estipulando que  $x^i = c^i$  es un lugar especial, y los cuerdas abiertas deben tener sus extremos justo ahí.

P.ej., el caso  $p=2$  sería como en la

figura de la derecha: los extremos

de la cuerda solo podrían deslizarse

libremente a lo largo de  $x^1$  y  $x^2$ ,

pero en las direcciones restantes estaban restringidas

no salirse nunca del plano 2-dimensional definido por

$x^3 = c^3, \dots, x^{D-1} = c^{D-1}$ . (El caso  $p=-1$ , donde todos los  $x^\mu$  serían Dirichlet, es todavía más peculiar, pues ambos

extremos estarían atados en un solo evento  $x^\mu = c^\mu$

en el espacio-tiempo.) Vale la pena enfatizar que esta

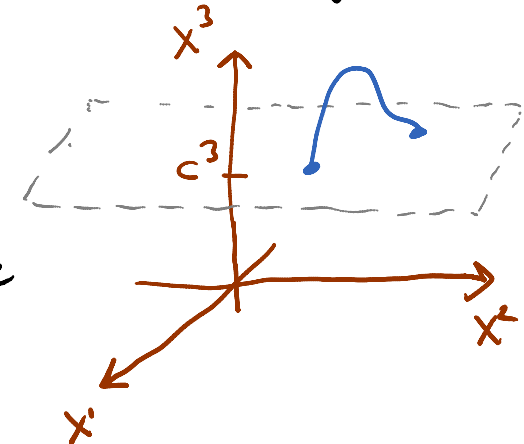
restrictión aplica solo para los extremos:

los puntos en el cuerpo de la cuerda abierta son indistinguibles de

los puntos en una cuerda cerrada, y pueden por tanto

moverse en todo el espacio. Aunque, por supuesto, incurrirán

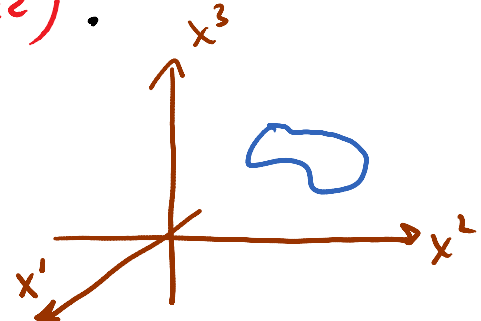
en un costo energético grande si se alejan mucho de



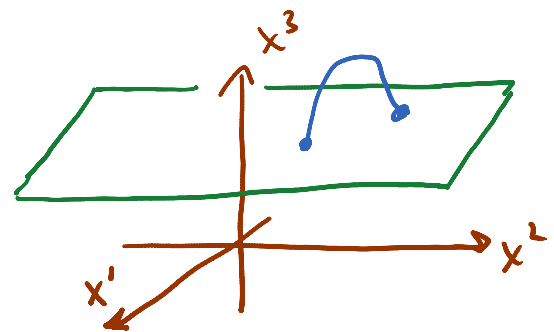
$x^i = c^i$ , porque la cuerda tendrá que estirarse/crecer.

Durante muchos años, esto parecía demasiado extraño como para tomarse en cuenta. Pero en 1989, Dai, Leigh y Polchinski, y por separado Horava, entendieron la verdadera naturaleza de estos condicionales: mostraron (utilizando la llamada "dualidad T") que el plano p-dimensional en  $x^i = c^i$  es un objeto físico que debe considerarse parte del espacio no perturbativo, un solitón, de la teoría de cuerdas. Dai, Leigh y Polchinski lo bautizaron D-brane (o más específicamente, D<sub>p</sub>-brane, si se quiere indicar su dimensionalidad).

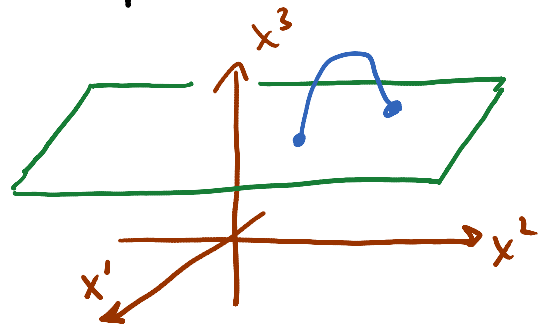
La idea es entonces que, así como una cuerda cerrada es una pequeña excitación de (la generalización cuerdas de) el propio espaciotiempo, una cuerda abierta es una pequeña excitación de un objeto físico extendido en p dimensiones espaciales ( $-1 \leq p \leq D-1$ ),



que llamemos una D-brana. Esto explica por qué los extremos de la cuerda abierta solo pueden deslizarse libremente a lo largo de algunas direcciones  $x^\alpha$  ( $\alpha=0, \dots, p$ ): la D-brana está localizada en  $x^i=c^i$  ( $i=p+1, \dots, D-1$ ), y la cuerda abierta es una excitación de ella —podemos pensar como un hilito (filamento) de la propia D-brana. Dicho al revés, así como el espaciotiempo es un objeto cuyas pequeñas excitaciones son cuerdas cerradas (que pueden, naturalmente, moverse por todo el espacio), y siempre que hablamos de cuerdas cerradas estamos en última instancia hablando del espaciotiempo cuadrado, una D-brana es un objeto cuyas pequeñas excitaciones son cuerdas abiertas (que, naturalmente, solo pueden moverse sobre la D-brana), y siempre que hablamos de cuerdas abiertas estamos en última instancia hablando de una (o varias) D-brana(s).



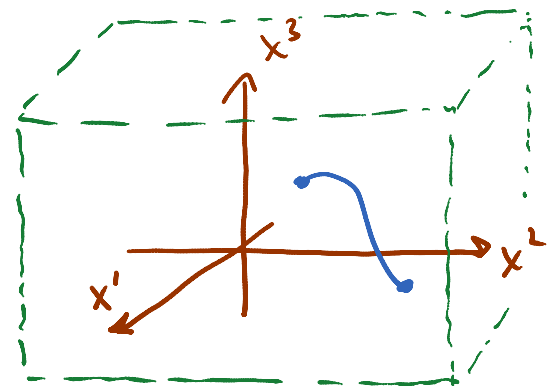
Quedó claro entonces que el hecho de que los condicionales de Dirichlet violen la invariancia bajo Poincaré no es un crimen, sino una consecuencia natural de la presencia de las D-branes. Y entendemos también que incluso en el caso  $p=D-1$ , donde todos los  $X^\mu$  son Neumann y sí se tiene invariancia de Poincaré, los cuerdas abiertas deben interpretarse de alguna manera como excitaciones de una D-brane que llena todo el espacio, una  $D(D-1)$ -brane.



Letra: Dirichlet  $\nearrow$  Número: dimensión del espacio-tiempo (eventualmente 26)

En ausencia de D-branes, NO puede haber cuerdas abiertas, solo cerradas.

El gremio de la comunidad cuerdas no aceptó a las D-branes como objetos intrínsecos de la teoría de cuerdas sino hasta 1995, cuando Polchinski publicó un trabajo clave [hep-th/9510017] donde demostró contundentemente



su relevancia. Desde entonces, las D-branes han sido pieza crucial en muchos avances dentro de la teoría.

Procedemos ahora a implementar explícitamente las condiciones de frontera de Dp-branes,

$$\left. \partial_\sigma X^\alpha \right|_{\sigma=0,\pi} = 0 \quad (\alpha=0, \dots, p), \quad \left. X^i \right|_{\sigma=0,\pi} = c^i \quad (i=p+1, \dots).$$

Ahora nuestros campos viven no sobre un círculo, sino sobre un intervalo; pero de cualquier manera, el hecho de que  $\sigma$  tenga un rango finito vuelve a hacer que el momento en la hoja de mundo sea discreto,  $p'=n$ .

La diferencia importante con respecto a la cuerdas cerradas es que ahora los bordes izquierdo y derecho NO son independientes, porque las condiciones de borde hacen que los ondas derechos se conviertan en izquierdos (y viceversa) al rebotar en los extremos de la cuerdas ( $\Rightarrow$  ondas estacionarias).

Concretamente, para satisfacer las condiciones de



Neumann y Dirichlet necesitamos tener, respectivamente,

$$\tilde{\alpha}_n^\alpha = \alpha_n \quad \forall n, \quad \tilde{\alpha}_n^i = -\alpha_n^i \quad \forall n,$$

*no confundir*

así que la expansión toma la forma

$$X(\tau, \sigma) = x^\alpha + 2\alpha' p^\alpha \tau + i\sqrt{2\alpha'} \sum_{n \neq 0} \frac{1}{n} \alpha_n^\alpha e^{-in\tau} \cos(n\sigma)$$

↑ porque ahora  $p_\omega = \int_0^\pi d\sigma \Pi_\omega = \int_0^\pi d\sigma \frac{\dot{X}_\omega}{2\pi\alpha}$

$$X^i(\tau, \sigma) = c^i + 0 + \sqrt{2\alpha'} \sum_{n \neq 0} \frac{1}{n} \alpha_n^i e^{-in\tau} \sin(n\sigma).$$

*no confundir*

↑ no se permite término lineal en  $\tau$

$$(\alpha_0^i + \tilde{\alpha}_0^i = 0), \text{ así que } p^i = 0:$$

la cuerda NO puede parar un momento neto en las direcciones transversales a la  $D_p$ -brana.

Es claro entonces que, al cuantizar, el espacio de Hilbert resultante para la cuerda abierta será más pequeño que

el de las cuerdas cerradas (y en particular, veremos que no incluye a un gravitón).

Hemos entendido ya las condiciones de frontera para las cuerdas cerradas y abiertas, así como el cambio de notación de  $\alpha^s$  y  $\alpha^{s*}$  a  $\sigma^s$  y  $\tilde{\sigma}^s$ .

Vimos en los pp. 141-2 que, incluso después de fijar la norma planck  $g_{ab} = \eta_{ab}$  ó  $\delta_{ab}$ ,  $S_p$  tiene todavía a las transformaciones conformes como simetría local remanente. En efecto,

$$S_p = \frac{1}{4\pi\alpha'} \int d\sigma^+ d\sigma^- \partial_a X \cdot \partial_a X \\ = \frac{1}{2\pi\alpha'} \int d\sigma^+ d\sigma^- \partial_{\sigma^+} X \cdot \partial_{\sigma^-} X ,$$

con  $\sigma^+ \equiv \tau + \sigma \equiv -i\sigma^2 + \sigma^1$ ,  $\sigma^- \equiv \tau - \sigma \equiv -i\sigma^2 - \sigma^1$ , es invariante bajo

$$\sigma^+ \rightarrow \underline{\sigma}^+(\sigma^+) , \quad \sigma^- \rightarrow \underline{\sigma}^-(\sigma^-) :$$

$$\begin{aligned}
 S_p &= \frac{1}{4\pi\alpha'} \int d\sigma^+ d\sigma^- \partial_{\sigma^+} X \cdot \partial_{\sigma^-} X \\
 &= \frac{1}{4\pi\alpha'} \int d\sigma^+ d\sigma^- \underbrace{\left| \frac{\partial(\sigma^+, \sigma^-)}{\partial(\sigma^+, \sigma^-)} \right|}_{\frac{\partial\sigma^+}{\partial\sigma^+} \frac{\partial\sigma^-}{\partial\sigma^-}} \frac{\partial\sigma^+}{\partial\sigma^+} \partial_{\sigma^+} X \cdot \partial_{\sigma^-} X \frac{\partial\sigma^-}{\partial\sigma^-} \\
 &= S_p .
 \end{aligned}$$

Esta No es una reparametrización: la métrica no cambia (sigue siendo  $g_{11} = 1 = g_{22}$ ,  $g_{12} = 0$ , o lo que es lo mismo,  $g_{++} = 0 = g_{--}$ ,  $g_{+-} = -1/2$ ), así que las distancias propias sí cambian. Como vimos,

$$\begin{pmatrix} \text{Transformación} \\ \text{conforme} \end{pmatrix} = \begin{pmatrix} \text{Transformación} \\ \text{de Weyl} \end{pmatrix} \circ \begin{pmatrix} \text{Reparametrización} \\ \text{conforme} \end{pmatrix}$$

$$g_{ab} \rightarrow \Omega g_{ab} \quad g_{ab} \xrightarrow[\Omega^{-1}]{} \underbrace{\frac{\partial\sigma^+}{\partial\sigma^+} \frac{\partial\sigma^-}{\partial\sigma^-}}_{\Omega} g_{ab}$$

Rescales localmente distancias propias, pero preserva cíngulos.

A pesar de que las reparametrizaciones conformes son

un subconjunto de medida cero del grupo de difeos, en 2 dimensiones las transformaciones conformes (definidas a nivel local) forman un grupo de dimensión infinita: infinitesimalmente,  $\underline{\sigma}^+(\sigma^+) = \sigma^+ + \sum_r \Sigma_r(\sigma^+)^r$ .

S<sub>p</sub> es un ejemplo de lo que llamamos una teoría de campos conforme (TCC) en 2 dimensiones.

Las teorías conformes son también importantes en d > 2 dimensiones (p.ej., las teorías de campos bien definidos se reducen a una TCC a ultra-alto energía, y frecuentemente se reducen a TCC a ultra-bajo energía). Pero en d > 2, la dimensión del grupo conforme es solo  $\frac{1}{2}(d+1)(d+2)$ . [6:00/03/13]

El caso d=2 es especial, y la simetría conforme se vuelve entonces una herramienta muy poderosa.

Para hacerla manifiesta y aprovecharla más fácilmente, conviene hacer un nuevo cambio de

notación, para pasar a coordenadas complejas en la hoja de mundo:

$$\left. \begin{array}{l} w = \sigma^2 + i\sigma' \quad (= i(\tau + \sigma) = i\sigma^+) \\ \bar{w} = \sigma^2 - i\sigma' \quad (= i(\tau - \sigma) = i\sigma^-) \end{array} \right\} \xleftrightarrow{\text{convenções diferem de Polchinski}} \left. \begin{array}{l} \sigma^2 = \frac{1}{2}(w + \bar{w}) \\ \sigma' = \frac{i}{2}(\bar{w} - w) \end{array} \right\}$$

$\uparrow \equiv w^*$

$$\Rightarrow \partial_w = \frac{1}{2}(\partial_2 - i\partial_1), \quad \partial_{\bar{w}} = \frac{1}{2}(\partial_2 + i\partial_1),$$

$$\left. \begin{array}{l} g_{w\bar{w}} = \frac{\partial \sigma'}{\partial w} \frac{\partial \sigma'}{\partial \bar{w}}(1) + \frac{\partial \sigma^2}{\partial w} \frac{\partial \sigma^2}{\partial \bar{w}}(1) = \frac{1}{2}, \\ g_{ww} = \frac{\partial \sigma'}{\partial w} \frac{\partial \sigma'}{\partial w}(1) + \frac{\partial \sigma^2}{\partial w} \frac{\partial \sigma^2}{\partial w}(1) = 0, \\ g_{\bar{w}\bar{w}} = \frac{\partial \sigma'}{\partial \bar{w}} \frac{\partial \sigma'}{\partial \bar{w}}(1) + \frac{\partial \sigma^2}{\partial \bar{w}} \frac{\partial \sigma^2}{\partial \bar{w}}(1) = 0, \end{array} \right\}$$

frente  
de la  
diagonal,  
justo  
como  
 $g_{+-}$

$$d^2w = dw d\bar{w} = \left| \frac{\partial(w, \bar{w})}{\partial(\sigma', \sigma^2)} \right| d\sigma' d\sigma^2 = 2 \underbrace{d\sigma' d\sigma^2}_{d^2\sigma}.$$

La acción de Polyakov se reescribe entonces como

$$S_p = \frac{1}{2\pi\alpha'} \int d^2w \partial_w X \cdot \partial_{\bar{w}} X$$

$\curvearrowleft$  contracorriente com  $g_{\mu\nu} = \eta_{\mu\nu}$

Adoptaremos la notación  $f(w, \bar{w})$  para una función

genérica,  $f(w)$  para una función analítica / holomorfa  
y  $f(\bar{w})$  para una función antianalítica / antiholomorfa.  
Por ejemplo, la separación que tenemos entre en molar izquierdo y derecho adopta la forma

$$X^w(w, \bar{w}) = X^w(w) + \tilde{X}^w(\bar{w}).$$

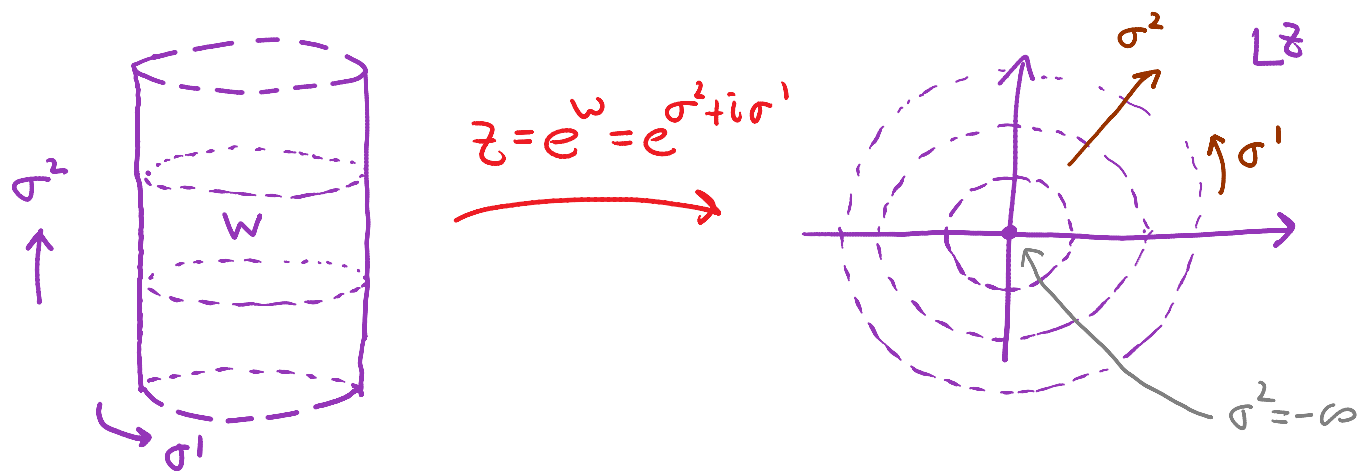
En este lenguaje, una transformación conforme corresponde a un mapa analítico / holomorfo

$$w \rightarrow w' = w'(w), \quad \bar{w} \rightarrow \bar{w}'(\bar{w}),$$

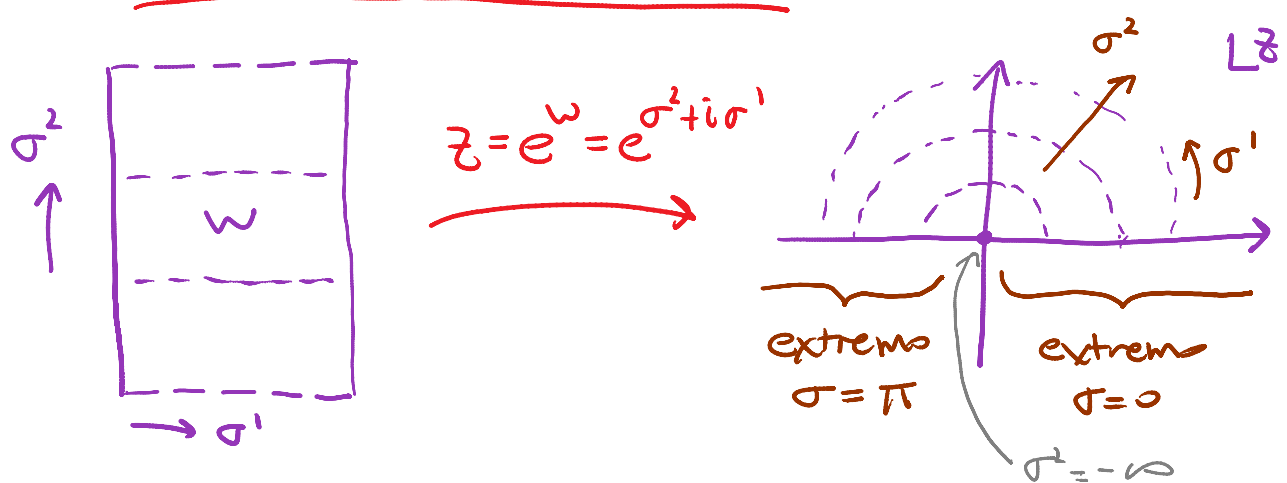
con  $X^w(w, \bar{w}) \rightarrow X^{w'}(w', \bar{w}') = X^w(w, \bar{w})$  (escalón)

(y  $S_p' = S_p$ , por el mismo argumento de antes).

No convendrá, de hecho, cambiar de hoja de mundo por medio de una transformación conforme específica  $z = e^w$ , que para la órbita cerca tiene el efecto de mapear el cilindro (infinito) al plano complejo  $\mathbb{C}$ ,



y para la cuerdas abiertas, mapea la tira (infinita) a la mátx superior del plano complejo,



Notar que las translaciones en el tiempo  $\sigma^2$  en la hoja de mundo original se convierten en rescalamiento en el plano complejo, así que lo que dnde el punto de vista de  $w$  es el Hamiltoniano  $H$ , el generador de la evolución temporal, se reinterpreta en

$z$  como el generador  $\mathcal{D}$  de diáfragma ( $z \rightarrow \lambda z$ ).  $\leftarrow \in \mathbb{R}$

Por estos razones, al cuantizar la teoría en el plano complejo coordinatizado con  $z$ , elegiremos imponer las relaciones de commutación a  $|z|$  constante (o decir, a  $\sigma^2$  constante). Este procedimiento se conoce como Cuantización radial.

La acción tiene por supuesto la misma forma que anterior, que abreviaremos en lo sucesivo como

$$S_p = \frac{1}{2\pi\alpha'} \int d^2 z \partial X \cdot \bar{\partial} X ,$$

donde  $\partial \equiv \partial_z$ ,  $\bar{\partial} \equiv \partial_{\bar{z}}$ .

Al extremizarla,  $\delta S_p / \delta X_\mu = 0$ , obtenemos la ecuación de movimiento

$$\partial \bar{\partial} X^\mu(z, \bar{z}) = 0 \quad \text{Laplace/ondas},$$

que nos informa de inmediato que  $\partial X^\mu(z)$  es analítica, y  $\bar{\partial} X^\mu(\bar{z})$  antianalítica.

Esto nos permite desarrollar a estos funciones en una expansión de Laurent (no puramente de Taylor, por el carácter singular que tiene el origen  $z=0$ ):

$$\partial X^{\omega}(z) = -i\sqrt{\frac{\alpha'}{2}} \sum_{n=-\infty}^{\infty} \frac{\alpha_n^{\omega}}{z^{n+1}},$$

$$\bar{\partial} X^{\omega}(\bar{z}) = -i\sqrt{\frac{\alpha'}{2}} \sum_{n=-\infty}^{\infty} \frac{\tilde{\alpha}_n^{\omega}}{\bar{z}^{n+1}}.$$

Integrando, obtendremos entonces

$$X^{\omega}(z, \bar{z}) = X^{\omega}(z) + \tilde{X}^{\omega}(\bar{z}), \text{ con}$$

$$X^{\omega}(z) = \frac{1}{2} X^{\omega} + i\sqrt{\frac{\alpha'}{2}} \left( -\alpha_0^{\omega} \ln z + \sum_{n \neq 0} \frac{\alpha_n^{\omega}}{nz^n} \right),$$

$$\tilde{X}^{\omega}(\bar{z}) = \frac{1}{2} X^{\omega} + i\sqrt{\frac{\alpha'}{2}} \left( -\tilde{\alpha}_0^{\omega} \ln \bar{z} + \sum_{n \neq 0} \frac{\tilde{\alpha}_n^{\omega}}{n\bar{z}^n} \right).$$

Es fácil verificar que esta expansión de Laurent coincide perfectamente con la expansión de Fourier que dedujimos para la cuerda cerrada en la p. 155.

Igual que antes, para lo que se cumple la condición de periodicidad

$$X^{\mu}(e^{2\pi i} z, e^{-2\pi i} \bar{z}) = X^{\mu}(z, \bar{z})$$

no obliga a tener  $\alpha_0^{\mu} = \tilde{\alpha}_0^{\mu}$ .

Para agarrar algo de práctica con estas variables complejas, repetiremos ahora la deducción de la carga de Noether asociada a translaciones espaciotemporales.

Bajo  $X^{\mu}(z, \bar{z}) \rightarrow X^{\mu}(z, \bar{z}) + \epsilon^{\mu}(z, \bar{z})$  tenemos

$$\begin{aligned} \delta S_p &= \frac{1}{2\pi i} \int d^2 z \left( \partial X^{\mu} \bar{\partial} \epsilon_{\mu} + \partial \epsilon_{\mu} \bar{\partial} X^{\mu} \right) \\ &= \frac{1}{2\pi i} \int d^2 z \left[ \underbrace{\left( \frac{i}{\pi} \partial X^{\mu} \right)}_{\text{dejando fijas, por convención}} \bar{\partial} \epsilon_{\mu} + \underbrace{\partial \epsilon_{\mu} \left( \frac{i}{\pi} \bar{\partial} X^{\mu} \right)}_{\equiv J_z^{\mu} \quad \equiv J_{\bar{z}}^{\mu}} \right] \end{aligned}$$

$$\stackrel{\text{partir}}{=} - \frac{1}{2\pi i} \int d^2 z \left( \bar{\partial} J_z^{\mu} + \partial J_{\bar{z}}^{\mu} \right) \epsilon_{\mu}(z, \bar{z}) = 0$$

$\uparrow$   
Si usamos la ec. de movimiento para  $X^{\mu}(z, \bar{z})$

$\Rightarrow (J_z^{\mu}, J_{\bar{z}}^{\mu})$  son 2 corrientes conservadas en la hoja de mundo,

$$\overline{\partial} J_z^{\mu} + \partial J_{\bar{z}}^{\mu} = 0 . \quad \leftarrow$$

$\underbrace{\overline{\partial} J_z^{\mu}}_{\approx \partial X^{\mu}} \quad \underbrace{\partial J_{\bar{z}}^{\mu}}_{\approx \bar{\partial} X^{\mu}}$

Aquí se ve el análogo

$$\partial_a J^{\mu a} = g^{ab} \partial_a J_b^{\mu} = 0$$

en estas coordenadas

Podemos notar que, en este caso, es posible de hecho definir 2 ( $\times 1$ ) corrientes respectivamente analíticas/antianalíticas que se conservan por separado:

$$\hat{j}^{\mu} \equiv (J_z^{\mu}, 0) = \frac{i}{\alpha} \partial X^{\mu} , \quad \tilde{j}^{\mu} \equiv (0, J_{\bar{z}}^{\mu}) = \frac{i}{\alpha} \bar{\partial} X^{\mu}$$

satisfacen

$$\overline{\partial} \hat{j}^{\mu} = 0 , \quad \partial \tilde{j}^{\mu} = 0 .$$

Sabemos que la carga conservada es el momento espaciotemporal. Usando

$$J_{\tau}^{\mu} = i J_{0^+}^{\mu} = i (J_w^{\mu} + J_{\bar{w}}^{\mu})$$

$$= i (\bar{z} J_z^{\mu} + \bar{\bar{z}} J_{\bar{z}}^{\mu}) , \quad \text{esto es}$$

$$p^\omega = \int_0^{2\pi} d\sigma \frac{J_z^\omega}{2\pi i} = \int_0^{2\pi} \frac{d\sigma'}{2\pi} (z J_z^\omega + \bar{z} J_{\bar{z}}^\omega) ,$$

↑ por normalización elegida (p. 176)

$$\text{y sabemos que } z = e^{\sigma^2 + i\sigma'} \Rightarrow dz = iz d\sigma' ,$$

$$\bar{z} = e^{\sigma^2 - i\sigma'} \Rightarrow d\bar{z} = -i\bar{z} d\sigma' ,$$

$$p^\omega = \frac{1}{2\pi i} \oint (dz J_z^\omega - d\bar{z} J_{\bar{z}}^\omega)$$

↓ indica sentido de  $z$  (apunto a  $\bar{z}$ )

$$= \frac{1}{2\pi i} \oint (dz j^\omega - d\bar{z} \tilde{j}^\omega) .$$

Recordando ahora que

$$j^\omega \equiv J_z^\omega = \frac{i}{\alpha'} \partial X^\omega = \frac{1}{\sqrt{2\alpha'}} \sum_n \frac{\alpha_n^\omega}{z^{n+1}} ,$$

$$\tilde{j}^\omega \equiv J^\omega = \frac{i}{\alpha'} \bar{\partial} X^\omega = \frac{1}{\sqrt{2\alpha'}} \sum_n \frac{\tilde{\alpha}_n^\omega}{\bar{z}^{n+1}} ,$$

tenemos entonces

$$p^n = \frac{1}{\sqrt{2\pi i}} \sum_n \left( \oint \frac{dz}{2\pi i} \frac{\alpha_n^w}{z^{n+1}} - \oint \frac{d\bar{z}}{2\pi i} \frac{\tilde{\alpha}_n^w}{\bar{z}^{n+1}} \right)$$

y usando el teorema de Cauchy, nos quedamos por último con el residuo de los polos simpler ( $n=0$ ),

$$p^n = \frac{1}{\sqrt{2\pi i}} (\alpha_0^w + \tilde{\alpha}_0^w) = \sqrt{\frac{2}{\pi}}, \quad \alpha_0^w = \sqrt{\frac{2}{\pi}}, \quad \tilde{\alpha}_0^w,$$

en acuerdo con el resultado de la p.152 y 155.

Para una cuerda abierta asociada a una Dp-brane extendida a lo largo de  $x^1, \dots, x^p$ , las condiciones de borde son

$$\left\{ \begin{array}{l} \left. \partial_\sigma X^\alpha \right|_{\sigma=0, \pi} = 0 \quad \xleftarrow{\alpha=0, \dots, p} \\ \left. i(\partial_w - \partial_{\bar{w}}) \right| = i(z\partial - \bar{z}\bar{\partial}) \\ \left. \partial_z X^i \right|_{\sigma=0, \pi} = 0 \quad \xleftarrow{i=p+1, \dots, D-1} \\ \left. i(\partial_w + \partial_{\bar{w}}) \right| = i(z\partial + \bar{z}\bar{\partial}) \end{array} \right. \iff \boxed{\left. \begin{array}{l} \partial X^\alpha(z) \Big|_{z=\bar{z}} = \bar{\partial} X^\alpha(\bar{z}) \Big|_{\bar{z}=\bar{z}} \\ \left. \partial X^i(z) \right|_{z=\bar{z}} = -\bar{\partial} X^i(\bar{z}) \Big|_{\bar{z}=\bar{z}} \end{array} \right.}$$

Usando las expansiones de Laurent de la p. 175, esto implica igual que anterior

$$\alpha_n^\alpha = \tilde{\alpha}_n^\alpha, \quad \alpha_n^i = -\tilde{\alpha}_n^i \quad \forall n,$$

de modo que en lugar de orden viajeros temor orden estacionarias.

Una manera conveniente de reexpresar esta conexión es implementar las condiciones de frontera a través de lo que en electrodinámica se llama el método de imágenes, y en cuerdas se llama usualmente el truco de duplicación ("doubling trick"). Comenzando con  $X^\mu(z)$  definida en la mitad superior del plano, y  $\tilde{X}^\mu(\bar{z})$  en la mitad inferior, extenderemos  $X^\mu(z)$  al plano entero definiendo

$$X^\mu(\bar{z}) \equiv +\tilde{X}^\mu(\bar{z}), \quad X^i(\bar{z}) \equiv -\tilde{X}^i(\bar{z}).$$

Las condiciones de borde  $\partial X^\mu(z) \Big|_{z=\bar{z}} = \bar{\partial} \tilde{X}^\mu(\bar{z}) \Big|_{z=\bar{z}}$ ,

